

بکارگیری طراحی تاگوچی جهت تعین شرایط بهینه سنتز نانوذرات YAlO_3 به روش سل-ژل احتراقی

یاسمن غفاری^۱، رسول صراف ماموری^۱، نسترن ریاحی نوری^۲

^۱ گروه مهندسی مواد-سرامیک، دانشگاه تربیت مدرس، ^۲ گروه پژوهشی مواد غیرفلزی، پژوهشگاه نیرو

rsarrafm@modares.ac.ir

چکیده: در این پژوهش، سنتز نانوذرات آلمینیا-ایتریا (YAlO_3) به روش احتراقی انجام گرفت. مواد اولیه مورد استفاده در این تحقیق شامل نیترات آلومنیم، آبدار $\text{Al}(\text{NO}_3)_3 \cdot 9\text{H}_2\text{O}$ و عنوان منبع یون‌های Al^{3+} ، اکسید ایتریا (Y_2O_3) برای تولید نیترات ایتریم ($\text{Y}(\text{NO}_3)_3$) به عنوان منبع یون‌های Y^{3+} ، نیتریک اسید ۶۵٪ (HNO_3) به منظور انحلال پودر ایتریا و تهییه نیترات ایتریم و گلایسین ($\text{C}_2\text{H}_5\text{NO}_2$) به عنوان سوخت بود. به منظور بررسی و بهینه‌سازی پارامترها از طراحی تاگوچی با ماتریس ترکیبی و استفاده و پاسخ موردندازه‌گیری، متوسط اندازه ذرات تولید شده تعیین شد. سه پارامتر تاثیرگذار در واکنش به صورت غلظت یون‌های فلزی، نسبت سوخت به اکسید کننده و مقدار pH واکنش تعیین گردیدند که در سه سطح در نظر گرفته شدند. از آنالیز واریانس نیز برای دستیابی به کمترین متوسط اندازه ذرات استفاده شد. آنالیز پراش اشعه ایکس (XRD)، میکروسکوب الکترونی رویشی گسیل میدان (FESEM) و آزمایش تعیین سطح ویژه (BET) به منظور فازشناسی، ریخت شناسی و تعیین سطح ویژه پودر حاصل انجام شد. شرایط بهینه برای واکنش به صورت غلظت $\text{L}/\text{Al} = 2\text{mol}/0.2\text{mol}$ برای یون‌های فلزی، نسبت سوخت به اکسید کننده $= 1/25$ برابر استوکیومتری و $\text{pH} = 4$ معروفی شد. در این شرایط متوسط اندازه ذرات حدود ۴۵ نانومتر اندازه‌گیری شد.

کلید واژه: نانوذرات، آلمینیا-ایتریا، سل-ژل احتراقی، طراحی تاگوچی.

۱- مقدمه

اهمیت نمودار فاز آلمینیا-ایتریا از کاربرد آلمینیا و ایتریا به عنوان افروندی در فرایند سینتر فاز مایع سرامیک‌های دارای باند کوالانت سرپاشته می‌گیرد. با توجه به نمودار فاز آلمینیا-ایتریا، در نسبت‌های مختلف این دو ماده، سه ترکیب اصلی $(\text{Y}_3\text{Al}_5\text{O}_{12})_5\text{Al}_2\text{O}_3 \cdot 3\text{Y}_2\text{O}_3$ ، $(\text{Y}_4\text{Al}_2\text{O}_9\text{Al})_2\text{O}_3 \cdot 2\text{Y}_2\text{O}_3$ و $(\text{Y}_4\text{Al}_2\text{O}_9\text{Al})_2\text{O}_3 \cdot 2\text{Y}_2\text{O}_3$ موارد از ایتریا، یا مخلوطی از آلمینیا و ایتریا به عنوان کمک سینتر استفاده شده است [۲]. افزودن آلمینیا به مخلوط نیترید سیلیسیم-ایتریا، با افزایش سیالیت و کاهش دمای ذوب فاز شیشه، موجب افزایش چگالی می‌شود. در بیشتر موارد این دو ماده به صورت مجزا به سیستم افزوده می‌شوند، که در این صورت مشکل ناهمگنی توزیع آلمینیا و ایتریا بر روی سطح نیترید سیلیسیم به وجود می‌آید یعنی ممکن است در یک نقطه از قطعه مذاب غنی از آلمینیا و در نقطه‌ی دیگر مذاب غنی از ایتریا ایجاد شود [۳].

علاوه بر کاربرد به عنوان کمک سینتر، از کاربردهای مهم این ترکیبات استفاده‌ی آنها به عنوان مواد نورتاب است که اخیراً

توجهات زیادی را به ایتریم آلومینات‌های بر پایه‌ی سیستم YAlO_3 و $\text{YAP}(\text{Y}_3\text{Al}_5\text{O}_{12})$ ، $\text{Al}_2\text{O}_3\text{-Y}_2\text{O}_3$ ، $\text{Al}_2\text{O}_3\text{-YAM}(\text{Y}_4\text{Al}_2\text{O}_9)$ نموده است [۴]. همچنین کریستال‌های ایتریم آلومینیوم با ساختار پروسکایت $(\text{YAlO}_3\text{-YAP})$ فعال شده با عناصر خاکی نادر، یکی از مهمترین مواد استفاده در صنعت لیزر هستند. از نکات جالب این ماده این است که در ساختار YAlO_3 می‌توان با جایگزینی عناصر خاکی نادر به مواد لیزری جدیدی دست یافت [۵]. از دیگر کاربردهای این ترکیبات می‌توان به استفاده‌ی آنها در صنعت رنگدانه اشاره کرد. امروزه استفاده از مواد سرامیکی جدید در ساخت رنگدانه‌هایی با دمای 1200°C و مقاومت شیمیایی مناسب گسترش زیادی یافته است. رنگدانه قرمز با ساختار پروسکایت YAlO_3 که به وسیله‌ی مقدار کمی Cr^{3+} دوپ شده است به عنوان عامل رنگ کننده دارای پایداری دمایی و شیمیایی مناسب می‌باشد و مسأله‌ی آلودگی محیط‌زیست را نیز ندارد [۶].

روش‌های زیادی برای سنتز این نوع ترکیبات نانویی در سیستم آلومینا-ایتریا از جمله روش حالت جامد [۷]، سل‌ژل [۸]، هم‌رسوبی [۹] و غیره وجود دارد. در فرایند تولید سرامیک‌های پیشرفته، احتیاج بسیاری به توسعه‌ی روش‌های سنتزی است که توانایی تولید پودرهای زیرمیکرونی با خلوص شیمیایی و توزیع اندازه دانه‌ی وسیع داشته باشند [۱۰]. از آنجا که روش‌های سنتز جدید در مقایسه با روش‌های مرسوم گران‌تر هستند، قیمت نیز می‌تواند عامل تعیین کننده باشد. از این روش‌سنتز سل-ژل احتراقی به علت کاهش نیاز به منابع انرژی خارجی، بازده بالا، سهولت روش و ارزان بودن تجهیزات و کیفیت بالای محصول در مقایسه با دیگر روش‌های سنتز، بسیار مورد توجه است. فرایند سنتز سل-ژل احتراقی یک روش مناسب برای تولید نانوذرات در هزینه‌ی نسبتاً کم و با همگنی ترکیب شیمیایی زیاد است که می‌توان ذرات ریزی با توزیع یکنواخت را تولید نمود [۱۱]. از پارامترهای تاثیر گذار در این روش می‌توان به نوع سوخت، نسبت سوخت به اکسید کننده، دمای کلسیناسیون، pH محلول، نوع و درصد سوخت کمکی و ... اشاره نمود. در این پژوهش سنتز نانوذرات $\text{YAlO}_3\text{-Al}_2\text{O}_3\text{-Y}_2\text{O}_3$ یا $(\text{YAlO}_3\text{-Al}_2\text{O}_3\text{-Y}_2\text{O}_3)$ به روش سل-ژل احتراقی و به منظور کمک به فرایند سیتر نیترید سیلیسیم انتخاب شده است. این انتخاب می‌تواند شرایط اصلی همگن بودن ترکیب آلومینا-ایتریا را در فرایند سیتر نیترید سیلیسیم به میزان کافی بوجود آورد.

۲- فعالیت‌های تجربی

در این پژوهش، سنتز نانوذرات آلومینا-ایتریا (YAlO_3) به روش احتراقی انجام گرفت. مواد اولیه مورد استفاده در این تحقیق شامل نیترات آلومینیم آبدار ($\text{Al}(\text{NO}_3)_3\cdot 9\text{H}_2\text{O}$) به عنوان منبع یون‌های Al^{3+} ، اکسید ایتریا (Y_2O_3) (Merck-%۹۵) برای تولید نیترات ایتریم، ($\text{Y}(\text{NO}_3)_3$) به عنوان منبع یون‌های Y^{3+} ، نیتریک اسید (HNO_3) (Merck-%۹۵) به منظور احلال پودر ایتریا و تهییه‌ی نیترات ایتریم و گلایسین ($\text{C}_2\text{H}_5\text{NO}_2$) (Merck-%۹۹) به عنوان سوخت بود. در این پژوهش، پارامترهای گوناگونی که در تحقیقات گذشته بررسی نشده و یا به صورت جداگانه بررسی شده است، در کنار هم مورد مطالعه قرار گرفت. مسلماً نقش متقابل پارامترهای واکنش در کنار یکدیگر متفاوت از نقش جداگانه هر یک از پارامترها می‌باشد. سه پارامتر نسبت سوخت به اکسید کننده، اسیدیته‌ی محلول اولیه و غلظت واکنش دهنده‌ها، به عنوان پارامترهای اصلی تاثیرگذار در انجام واکنش تعیین شدند. پارامترهای مورد بررسی و سطوح آنها که در طراحی با روش تاگوچی به کار گرفته شد در جدول

۱ نشان داده شده است. در این واکنش به منظور محاسبه‌ی مقدار استوکیومتری سوخت مورد نیاز، از مجموع ظرفیت اکسنده-کاهنده و مفهوم شیمی محرکه^۱ استفاده شد [۱۲ و ۱۳]. کربن، هیدرژن و آلومینیوم به عنوان عناصر کاهنده با ظرفیت‌های به ترتیب $+4$ ، $+1$ و $+3$ می‌باشند. اکسیژن نیز به عنوان عنصر اکسنده با ظرفیت -2 و نیتروژن با ظرفیت صفر در نظر گرفته شده‌اند. با جمع ظرفیت هر ماده‌ی واکنش‌دهنده، مجموع ظرفیت $\text{Al}(\text{NO}_3)_3$ ، $\text{Y}(\text{NO}_3)_3$ و $\text{C}_2\text{H}_5\text{NO}_2$ (گلاسین) به ترتیب -15 و -9 و -15 محاسبه شد.

جدول ۱- پارامترهای انتخابی برای این پژوهش به همراه سطوح آنها.

| پارامترها | | | |
|-------------------|-----|--------|-----------------------------|
| سطح ۱ سطح ۲ سطح ۳ | | | |
| ۰/۲ | ۰/۱ | ۰/۰۵ | A: غلظت واکنش دهنده‌ها |
| ۱/۲۵ St | St | ۰/۷ St | B: نسبت سوخت به اکسید کننده |
| ۴ | ۳ | ۲ | C: اسیدیته |

*st=stochiometric

در این طراحی، از آنجا که سه پارامتر سه سطحی وجود دارد، پس یک ماتریس متعامد L_9 مناسب خواهد بود، که بر اساس روش‌های استاندارد ماتریس متعامد استاندارد L_9 در جدول ۲ ارائه گردید. در این پژوهش برای بررسی کامل تمامی پارامترها و سطوح آنها به 3^3 (سطوح به توان پارامتر) یعنی 27 آزمایش نیاز است در حالی که روش تاگوچی این تعداد را به 9 آزمایش کاهش می‌دهد.

جدول ۲- ماتریس متعامد L_9 مورد استفاده در آزمایش.

| آزمایش | غلظت واکنش دهنده‌ها Mol/L | نسبت سوخت به اکسید کننده | pH واکنش | Mol/L |
|--------|---------------------------|--------------------------|----------|-------|
| ۱ | ۰/۰۵ | ۰/۷ St | ۲ | |
| ۲ | ۰/۰۵ | St | ۳ | |
| ۳ | ۰/۰۵ | ۱/۲۵ St | ۴ | |
| ۴ | ۰/۱ | ۰/۷ St | ۳ | |
| ۵ | ۰/۱ | St | ۴ | |
| ۶ | ۰/۱ | ۱/۲۵ St | ۲ | |
| ۷ | ۰/۲ | ۰/۷ St | ۴ | |
| ۸ | ۰/۲ | St | ۲ | |
| ۹ | ۰/۲ | ۱/۲۵ St | ۳ | |

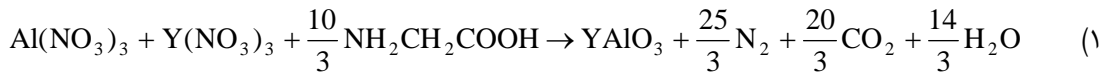
*st=stochiometric

^۱ Propellant Chemistry

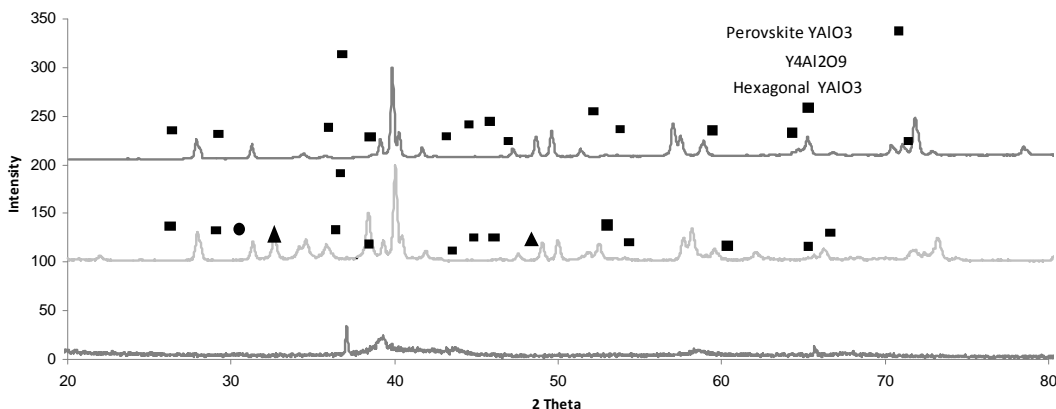
جهت سنتر نانوپودر YAlO_3 به روش سل-ژل احتراقی، ابتدا مطابق با جدول ۲، مقدار مورد نظر پودر ایتریا در مقدار مناسب آب دیونیزه و نیتریک اسید ریخته و حرارت داده شد تا محلول نیترات ایتریم حاصل شود. همچنین در یک بشر جداگانه مقدار مورد نظر $\text{O}_3\text{Al}(\text{NO}_3)_3\cdot9\text{H}_2\text{O}$ در مقداری آب دیونیزه حل گردید. این دو محلول نیترات حاصل به هم اضافه شده و به مقدار نسبت استوکیومتری سوخت به اکسید کننده مورد نظر از سوخت گلایسین به آن افزوده شد. سپس به منظور خروج ناخالصی‌های احتمالی موجود در محلول، عملیات سانتریفوج انجام شد. در نهایت اسیدیته‌ی محلول با افزودن مقدار مناسب آمونیاک و نیتریک اسید به طور تدریجی به محلول داخل بشر، به مقدار مورد نظر رسانده شد. محلول حاصل درون بشر، روی هیتر مغناطیسی قرار گرفته و همزمان با هم خوردن توسط همزن مغناطیسی تحت حرارت قرار گرفت. در ادامه‌ی پروسه، سل موجود به یک ساختار ژلی تبدیل شد. با ادامه‌ی حرارت دهی ژل حاصل محترق شد و یک ساختار حجیم متخلخل ایجاد گشت.

۳- نتایج و بحث

واکنش احتراق در حالتی که از سوخت گلایسین و در نسبت استوکیومتری استفاده شود، به ازای هر مول اکسید به صورت زیر خواهد بود:



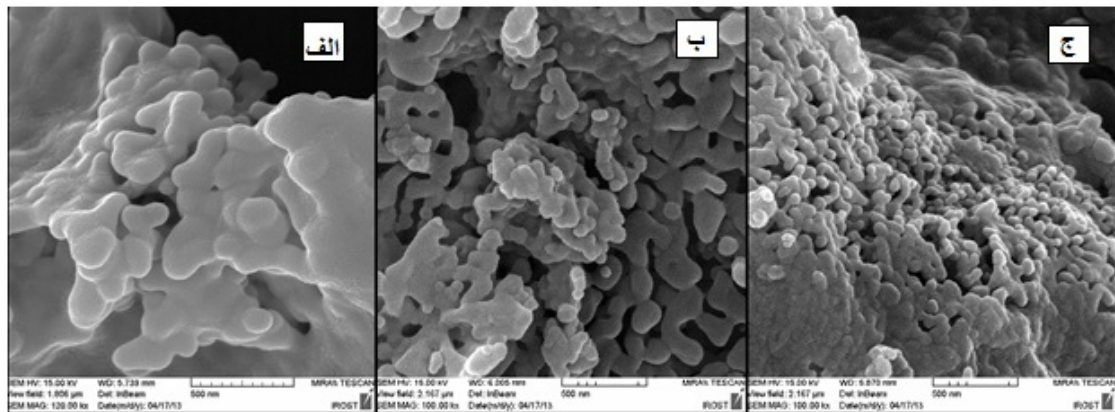
این واکنش یک واکنش گرمایی حاصل از آن باعث پیش‌روندۀ بودن احتراق می‌شود. در این معادله CO_2 ، H_2O و N_2 محصولات گازی واکنش هستند. مکانیزم واکنش احتراق به این صورت است که یون‌های نیترات به عنوان عوامل اکسنده و سوخت به عنوان عامل کاهنده عمل می‌کند و در یک واکنش اکسایش-کاهش احتراق رخ می‌دهد. هنگامی که ماده به نقطه‌ی احتراق می‌رسد، دچار واکنش سوختن می‌شود. پس از اینکه کلیه‌ی مواد قابل احتراق سوخته و به صورت گاز از سیستم خارج شدند، یک چرم متخلخل و ترد باقی مانده و احتراق پایان می‌یابد [۱۴]. با توجه به واکنش ۱ مشاهده می‌شود که حجم زیادی گاز در فرایند احتراق به وجود آمده است. خروج گازها از سیستم، موجب سست شدن اتصال ذرات و جلوگیری از کلوخه‌ای شدن آنها می‌شود. البته باید ذکر نمود که حرارت حاصل از احتراق در بسیاری از موارد برای تشکیل اکسیدهای فلزی پایدار کافی نبوده و انجام عملیات کلسیناسیون در دما و زمان مناسب به منظور حصول پودر کاملاً بلوری شده لازم می‌باشد [۱۵، ۱۶]. به منظور تعیین دمای کلسیناسیون، از آزمایش XRD استفاده شد. پس از انجام عملیات کلسیناسیون در دو دمای مختلف، دمای 1100°C و مدت زمان ۲ ساعت به عنوان دما و زمان نهایی تعیین شد و کلیه‌ی نمونه‌ها در این دما و زمان کلسینه شدند. پس از انجام عملیات خردایش نمونه‌های کلسینه شده، به منظور تعیین متوسط اندازه ذرات حاصل از هر آزمایش، از آنالیز FESEM استفاده شد. بدین منظور برای بدست آوردن اندازه متوسط ذرات از نرم افزار "Image J" استفاده شد و برای دقت در اندازه‌گیری برای هر نمونه بیش از 50 تصویر مورد مطالعه قرار گرفت. اگر چه ظاهرًا دقت این روش نسبت به روش‌های دیگر کمتر است، اما بررسی تعداد زیاد تصویر در هر نمونه به مقدار قابل توجهی دقت اندازه‌گیری را افزایش می‌دهد. مقادیر به دست آمده برای نمونه‌ها در جدول ۳ آمده است. همچنین تصاویر FESEM حاصل از نمونه‌های ۲ و ۵ و ۹ به عنوان مثال در شکل ۲ آمده است.



شکل ۱- تصویر اثر دما در الگوی پراش اشعه‌ی ایکس نمونه‌ی حاصل از آزمایش تاگوچی، الف. پس از احتراق، ب. کلسینه در ۱۱۰۰ °C، ج. کلسینه در ۸۰۰ °C

جدول ۳- متوسط اندازه‌ی ذرات محاسبه شده با آنالیز FESEM در نمونه‌های تاگوچی

| شماره‌ی آزمایش | ۱ | ۲ | ۳ | ۴ | ۵ | ۶ | ۷ | ۸ | ۹ |
|------------------------|-----|-----|----|----|----|-----|----|----|----|
| متوسط اندازه ذرات (nm) | ۱۲۲ | ۱۵۴ | ۵۶ | ۶۴ | ۷۷ | ۱۱۹ | ۷۸ | ۹۸ | ۶۱ |

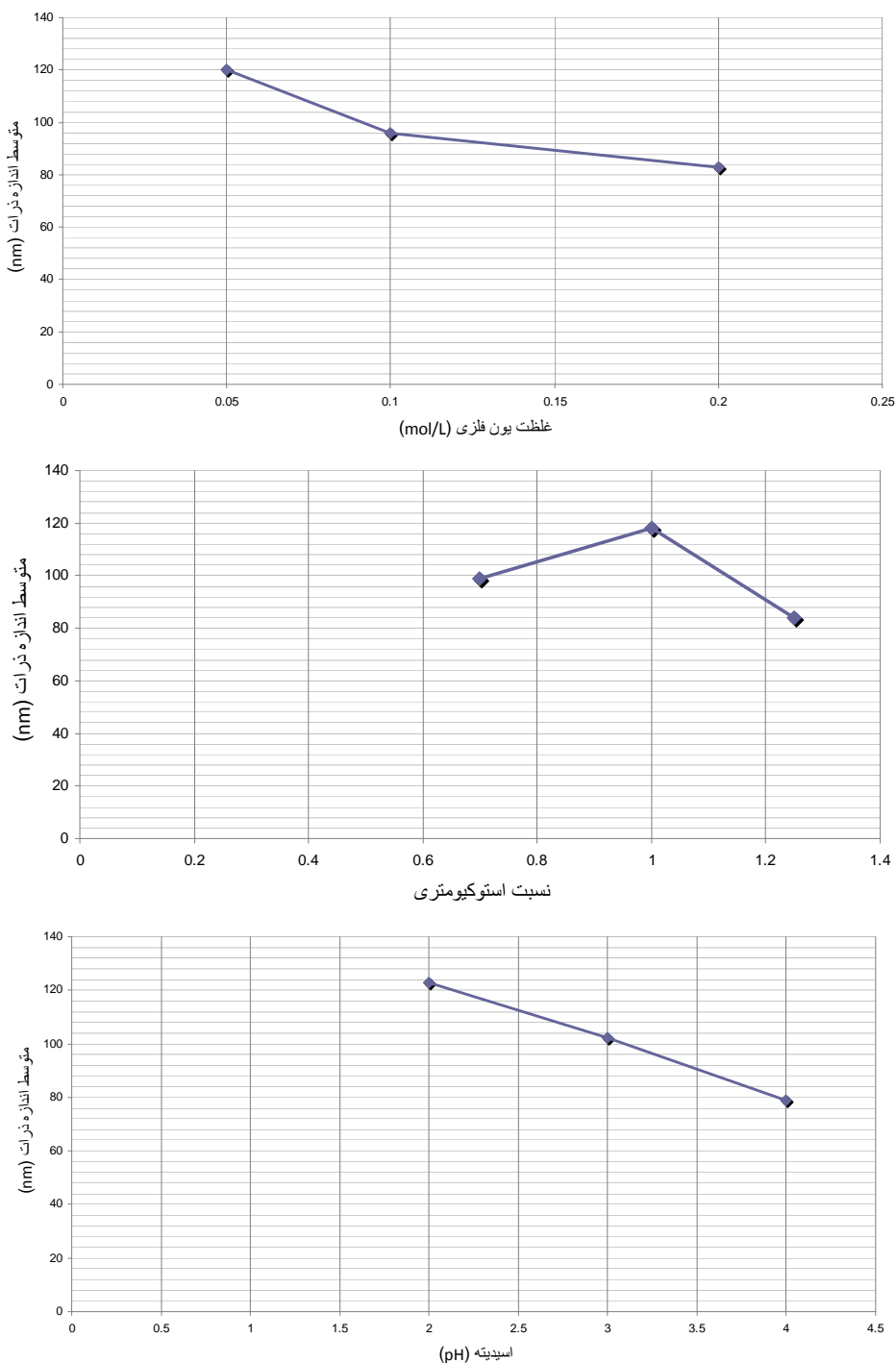


شکل ۲- تصویر میکروسکوب الکترونی روبشی گسیل میدان برای نمونه‌های کلسینه شده الف. ۲، ب. ۵ و ج.

در ادامه به منظور تعیین شرایط بهینه‌ی پارامترها از محاسبات تاگوچی استفاده و برای هر پارامتر یک مقدار بهینه تعیین شد [۱۶]. با توجه به نمودارهای موجود در شکل ۳، مشخص است که کمترین اندازه ذرات در غلظت $2/0$ مول بر لیتر، نسبت سوخت به اکسید کننده $1/25$ برابر استوکیومتری و pH برابر 4 به دست آمده است.

با توجه به نمودارهای شکل ۳ می‌توان گفت که افزایش غلظت واکنش دهنده‌ها موجب کاهش متوسط اندازه ذرات شده است. این رفتار می‌تواند به مقدار و شدت گازهای خروجی مربوط باشد. همان‌طور که از شکل ۴ مشخص است، در حالتی که غلظت یون‌های فلزی کمتر بوده است، تخلخل ساختار ایجاد شده پس از فرایند احتراق نیز کمتر بوده است. این امر به معنای حبس گاز و خروج سخت‌تر گازها در این ساختار می‌باشد. در حالیکه در غلظت‌های بالاتر، پس از فرایند احتراق ساختاری با درصد تخلخل بالاتر تولید می‌شود و این نشان دهنده‌ی خروج بیشتر گازهای تولیدی است. خروج گاز یکی از عوامل اصلی در جلوگیری از

کلوجهای شدن ذرات است. همچنین از آنجا که گازها به همراه خود گرما را از سیستم خارج می‌کنند، مانع رشد اندازه‌ی ذرات می‌شوند. حضور تخلخل بالاتر به معنی سطح بیشتر و انتقال حرارت بیشتر است و در نتیجه حرارت کمتری در سیستم باقی می‌ماند. از این رو ذرات در زمان کمتری در دمای بالا قرار گرفته‌اند و بنابراین اندازه‌ی ذرات ریزتر خواهد شد.



شکل ۳- نمودار تغییرات متوسط اندازه ذرات نمونه‌های کلسینه شده با
الف) غلظت کاتیونی، ب) نسبت سوخت به اکسید کننده، و ج) اسیدیته



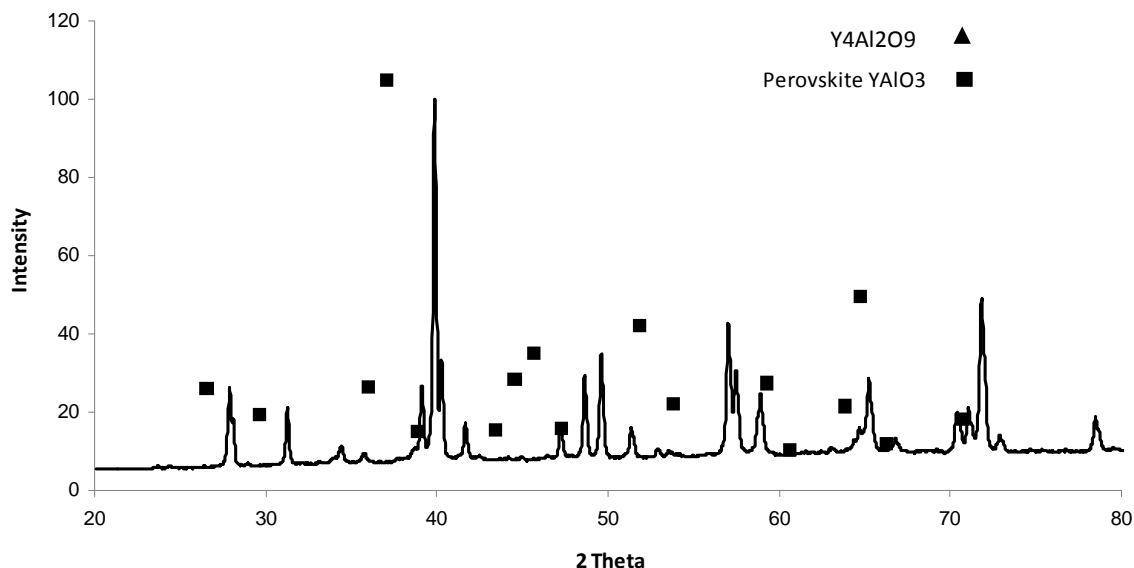
شکل ۴- تصویر پودر حاصل پس از فرایند احتراق برای نمونه (الف) غلظت پایین و (ب) غلظت بالا

همان طور که از نمودار شکل ۳ مشخص است، مقدار مناسب برای داشتن ذراتی با کمترین میانگین اندازه، در نسبت سوخت به اکسید کننده $1/25$ و در واقع سطح 3 از سطوح پارامتر قابل رویت می‌باشد. این امر می‌تواند به دلیل حضور مقدار زیاد ترکیبات آلی ناشی از سوخت باقیمانده در سیستم باشد. این ترکیبات به علت ظرفیت حرارتی بالایشان مقداری از گرمای سیستم را جذب می‌کنند. همچنین در طی فرایند کلسیناسیون مقداری از حرارت اعمال شده به ماده، صرف خروج این ترکیبات آلی از سیستم می‌شود که ریزتر بودن اندازه ذرات در این حالت می‌تواند مربوط به این مسئله باشد. در نسبت سوخت به اکسید کننده $7/0$ برابر استوکیومتری، به علت حضور سوخت کمتر و در نتیجه تولید گرمای کمتر در سیستم به نسبت حالت استوکیومتری، اندازه‌ی متوسط ذرات کمتر می‌باشد. در واقع در این حالت، مقدار سوخت مورد استفاده، کمتر از سوخت مورد نیاز برای سوختن کل واکنش‌دهنده‌ها می‌باشد. اما به دلیل خودپیش‌رونده بودن واکنش، کلیه‌ی واکنش‌دهنده‌ها مصرف می‌شوند. در نتیجه مقداری از گرمای ناشی از سوختن گلاسین، صرف سوختن مقدار اضافی واکنش‌دهنده‌های نیتراتی اضافی شده است و این می‌تواند دلیلی برای کمتر بودن متوسط اندازه‌ی ذرات نسبت به حالت استوکیومتری باشد.

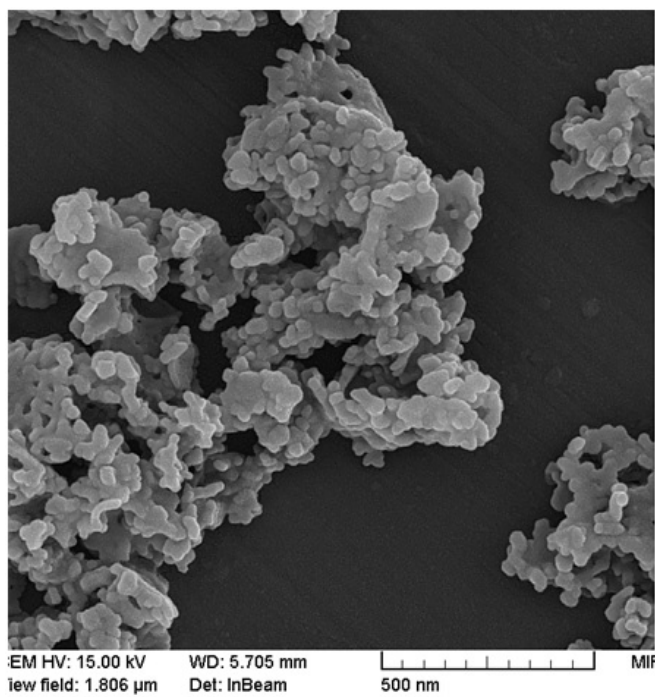
از نمودار موجود در شکل ۳ مشخص است که مقدار مناسب برای داشتن ذراتی با کمترین میانگین اندازه، در pH بالاتر و در واقع سطح 3 از سطوح پارامتر قابل رویت می‌باشد. گلاسین علاوه بر نقش سوخت، نقش کمپلکس دهنده‌ی را نیز دارا می‌باشد که با حل شدن در آب، با در بر گرفتن یون‌های فلزی و تشکیل کمپلکس پایدار، موجب قرار گرفتن این یون‌ها در کنار یکدیگر شده و مانع رسوب آنها می‌شود. به این ترتیب محلولی با ترکیب همگن به دست می‌آید. این اسید به دلیل دارا بودن گروه کربوکسیل $(COOH)$ ، با حل شدن در آب یونیزه شده و H^+ مربوط به OH که عامل اسیدی گروه کربوکسیل است از آن جدا شده و یک جفت الکترون غیر پیوندی بر روی اکسیژن باقی می‌ماند. حال کاتیون‌های فلزی با این جفت الکترون پیوند داتیو تشکیل داده و نهایتاً کمپلکس تشکیل می‌دهند [۱۷]. افزایش pH ، نرخ هیدرولیز شدن گلاسین را بیشتر می‌کند و یون‌های فلزی کمپلکس موثرتری با سوخت تشکیل می‌دهند. این امر همچنین نرخ تشکیل ژل را نیز افزایش می‌دهد [۱۸].

در ادامه به منظور تعیین مقدار پاسخ در شرایط بهینه از معادله‌ی پاسخ بهینه در طراحی تاگوجی استفاده شد [۱۶]. بر اساس این

رابطه پیش‌بینی می‌شود که در حالت بهینه اندازه‌ی متوسط ذرات برابر $41/6$ نانومتر خواهد بود. سنتز ذرات در شرایط بهینه نیز انجام شد و نمونه تحت آنالیز XRD، BET و FESEM قرار گرفت. شکل ۵ و ۶ به ترتیب آنالیز XRD و آنالیز BET نمونه‌ی بهینه را نشان می‌دهند.



شکل ۵- آنالیز پراش اشعه‌ی ایکس نمونه‌ی سنتز شده در شرایط بهینه



شکل ۶- تصویر میکروسکوپ الکترونی روبشی گسیل میدان برای نانوذرات سنتز شده در شرایط بهینه.

از نانوذرات سنتز شده در شرایط بهینه آنالیز BET گرفته شد. سطح ویژه‌ی محاسبه شده توسط آنالیز BET برابر $32/4 m^2/gr$ می‌باشد.

۴- نتیجه‌گیری

در این پژوهش سنتز نانوذرات YAlO_3 به روش سل-ژل احتراقی از مواد اولیه نیترات آلمینیوم و پودر ایتریا انجام شد. با استفاده از طراحی تاگوچی که ترکیبی از شیوه های ریاضی و آماری برای استفاده در تحقیقات تجربی است، امکان بررسی و بهینه سازی پارامترهای موثر بر واکنش در تعداد آزمایش و هزینه کمتر فراهم گردید. با در نظر گرفتن مشخصه‌ی کیفی "هرچه کوچکتر، بهتر" سطوح بهینه‌ی پارامترها به صورت غلظت L/mol ، نسبت سوخت به اکسید کننده $1/\text{H}_2\text{O}$ و pH برابر ۴ تعیین شد. در حالت بهینه، نتیجه‌ی مورد انتظار محاسبه شده از روش تاگوچی برابر متوسط اندازه ذرات برابر $41/6$ نانومتر حکایت داشت که مقدار محاسبه شده توسط آزمایش عملی برابر 45 نانومتر بوده است و این امر نشان‌دهنده‌ی کارایی پیش‌بینی با روش تاگوچی می‌باشد.

مراجع

- [1] M.Medraj," High temperature neutron diffraction study of the $\text{Al}_2\text{O}_3-\text{Y}_2\text{O}_3$ system". Journal of the European Ceramic Society, 2006. 26(16): p. 3515-3524.
- [2] T. Nishimura, "Fabrication of silicon nitride nanoceramics—Powder preparation and sintering: A review". Science and Technology of Advanced Materials, 2007. 8(7–8): p. 635-643.
- [3] A. Kuzjukēvičs, and K. Ishizaki, "Sintering of Silicon Nitride with YAIO_3 Additive". Journal of the American Ceramic Society, 1993. 76(9): p. 2373-2375.
- [4] H. Gao, and Y. Wang, "Photoluminescence of Eu^{3+} activated YAlO_3 under UV-VUV excitation". Materials Research Bulletin, 2007. 42(5): p. 921-927.
- [5] H. P. Weber, and W. Lüthy, "The $\text{YAIO}_3:\text{Er}$ Laser, in Tunable Solid-State Lasers II". Springer BerlinHeidelberg. 1986, p. 308-316.
- [6] Y. Marinova, "Study of solid solutions, with perovskite structure, for application in the field of the ceramic pigments". Journal of the European Ceramic Society, 2003. 23(2): p. 213-220.
- [7] Y. Pan, M. Wu, and Q. Su, "Tailored photoluminescence of YAG:Ce phosphor through various methods". Journal of Physics and Chemistry of Solids, 2004. 65(5): p. 845-850.
- [8] E. Talik, " $\text{YAIO}_3:\text{Mn}$ nanocrystals obtained in sol-gel and their properties". Crystal Research and Technology, 2010. 45(12): p. 1258-1264.
- [9] H. Wang, L. Gao, and K. Niihara, "Synthesis of nanoscaled yttrium aluminum garnet powder by the co-precipitation method". Materials Science and Engineering: A, 2000. 288(1): p. 1-4.
- [10] م. زبرجد، مقدمه‌ای بر مواد پیشرفته، یوکابد، مشهد، ۱۳۸۸، ۳۱۷-۳۵۳.
- [11] ع. سیمچی، "آشنایی با نانوذرات (خواص، روش‌های تولید، کاربرد)"، انتشارات علمی دانشگاه صنعتی شریف، ۱۳۸۷، ۳۷-۱۴۰.
- [12] R. Norouzbeigi, and M. Edrissi, "Preparation of Nano Alumina Powder via Combustion Synthesis: Porous Structure Optimization via Taguchi L16Design". Journal of the American Ceramic Society, 2011. 94(11): p. 4052-4058.
- [13] J. C.Toniolo, "Synthesis of alumina powders by the glycine-nitrate combustion process". Materials Research Bulletin, 2005. 40(3): p. 561-571.
- [14] A. Sutka, and G. Mezinskis, "Sol-gel auto-combustion synthesis of spinel-type ferrite nanomaterials". Frontiers of Materials Science, 9219. 5(9): p. 198-141
- [15] S. Roy, "Synthesis of YAG phase by a citrate-nitrate combustion technique". Materials Letters, 1999. 39(3): p. 138-141.
- [16] Ross, P., "Taguchi techniques for quality engineering", McGraw-Hill, 1998, pp. 10-150
- [17] Mondelaers D., Vanhooyland G., Van Den Rul H., D'Haen J. Van Bael M. K., Mullens J.; Van

- Poucke L. C., "Synthesis of ZnO Nanopowder Via an Aqueous Acetate– Citrate Gelation Method", Materials Research Bulletin, 37: 901-914 (2002).
- [18] L. Zhou, "A novel green emitting phosphor Ca_{1.5}Y_{1.5}Al_{3.5}Si_{1.5}O₁₂: Tb³⁺". Materials chemistry and physics, 2006. 100(2): p. 372-374.